

低応力下の土の動的変形特性について（その2）

四 大根義男 (五) 成田国輔 (三) 奥村哲夫 (二) 土屋好輝

1. はじめに

土の動的変形特性を解明するためには種々の実験が行われてきたが、それほとんどは地盤とか土構造物(フィルダム等)を対象としたものであり、模型堤体を対象としたいわゆる低応力下の土の動的変形特性については2,3の報告があるが、現在のことごろ十分解明されるまでは至っていない。これは、この種の実験における技術的困難性や精度的問題が主な理由である。

本研究は、前報⁵⁾の結果をもとに、実験装置に若干の改良を加えてこの種の研究の代表的試料である豊浦砂を用いて行った基礎実験の結果に関するものである。

2. 実験概要

実験は振動台を用いて行った。図-1に実験装置の概要を示す。

せん断応力では、振動台上に作成した砂層を水平方向に加振($f=7\text{Hz}$ 正弦波)することにより砂層及び砂層上部の慣性マスに発生する慣性力から求めた。又、拘束応力 σ_0 は慣性マスの重さを変えることにより変化させている。

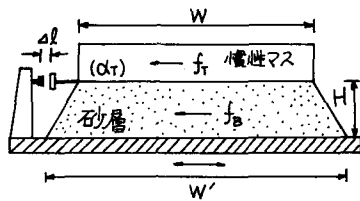


図-1 実験装置

試料は座乾状態の豊浦砂($G_s=2.65, \rho_{max}=0.988, \rho_{min}=0.618$)である。一連の実験を行う前に、砂層の形状寸法が動的変形特性に及ぼす影響を知るために高さHを5種類(30, 45, 60, 90, 120mm), 堤頂幅Wを3種類(150, 300, 450mm)変化させて実験を行った。又、この算定方法によるせん断弾性係数Gの影響を知るために、以下の3種類の式により結果を整理し比較を行った。

$$(1) T = (f_B + f_T)/W \quad f_T = m_T \Delta l \quad m_T: \text{慣性マスの質量}$$

$$(2) T = f_T/W \quad f_B = m_S \Delta l \quad m_S: \text{砂層の質量}$$

$$(3) T = \frac{(f_T + (f_B' + f_T)/2)}{(W + W')/2} \quad f_B' = m_S (\Delta l_T + \Delta l_B) / 2 \quad \Delta l_T, \Delta l_B: \text{砂層上, 下部の加速度}$$

せん断ひずみ γ は $\gamma = \Delta l / H$ (Δl : 水平変位), せん断弾性係数Gは $G = \gamma F$, 減衰比 η は図-2に示した様に求めた。又、砂層はゆる詰め($D_r=34.3\%$), σ_0 は $0.011 \sim 0.094 \text{ kg/cm}^2$ の範囲で5種類に変化させてある。

3. 実験結果

図-3はGに及ぼす砂層の形状の影響を調べるために高さと幅を変化させた実験結果である。

多少のバラツキはあるが、 G/H は $W/H=10$ 以上であれば一定値に落ち着くようであり、減衰比($\eta = \frac{1}{2\pi} \frac{\Delta l}{W}$)も同じ様な傾向を示している。

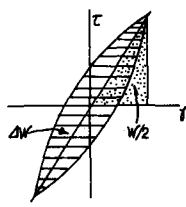


図-2 減衰比

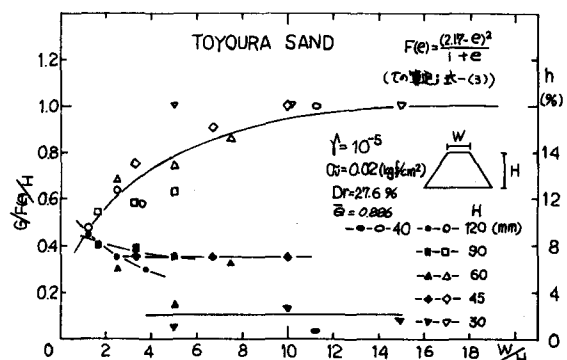


図-3 断面形状とG/H, ηとの影響

示してある様である。又、Gの値はHによることを示している。本研究では、以後の実験において $H=40\text{mm}$, $W=450\text{mm}$ ($W/H=11.25 > 10$) にて行った。

図-4は、この算定方法によるGの違いを示したものである。式-(3)は、式-(1)及び(2)の中間的なGを年次率と考るうえ、これにより得られる結果は式-(2)とほぼ同様の結果を示している。以後の結果の整理は全て式-(3)により行った。

図-5は、 $G/F(\epsilon)$ ～ γ' と h/γ' の関係を示したものである。これより、振動台を用いた実験結果から $\gamma' = 10^{-5} \sim 10^{-3}$ の範囲のG及び h の測定が可能である。

又、 h/γ' については、拘束応力 σ_f の影響はほど明確ではないが、傾向としては良い様に思われる。

図-6は、 $G/F(\epsilon)$ ～ γ' の関係を田中他、岩崎他と比較したものである。田中らの結果に対して、 $f=10^4$ では傾きは若干大きめであるが同じ様な値を示している。又、岩崎らの結果(外挿値)及び、本研究の振動三軸試験の結果(外挿値)に対しては、傾きはよく似ているが $G/F(\epsilon)$ の値がかなり小さいことがわかる。これは、実験装置、手法の違いなどによると考えられる。

図-7は、 γ_0/γ' の関係を田中らの結果と比較したものである。なお、 G_0 は $\gamma \approx 10^{-5}$ におけるGであり、ここではRamberg-Osgoodモデルから推定して求めた。 G のひずみ依存性は、田中らの結果と同様な傾向を示している様である。

4.まとめ

今回の実験結果より以下のことが知れた。

同一高さで、 $\gamma_0 > 10$ であれば、砂層の形状の影響は少ない。この算定方法の違いによりGの値は大きく異なる。又、二の種の砂層に振動台を用いることの有用性が確かめられた。

参考文献 1)原他; 低上載応力における砂のせん断変形特性に関する研究(第17回土質工学研究発表会 1982) 2)林他; 低拘束圧下の砂の動力学特性(第18回土壤構造研究発表会 1983) 3)田中他; 低拘束圧下の砂の動力学特性(物2)(第34回土木年次学術講演会 1983)

4) T. Imaizumi, F. Tatsuoka and Y. Tabagi; Shear Modulus of Sands under Cyclic Torsional Shear Loading. Vol.18, No.5) 地盤低応力下における土の動的変形特性について(昭和57年度研究発表会 土木学会中部支部) 5) 岩崎他; 低応力下における砂質土の剛性率(第17回土質工学研究発表会 1982)

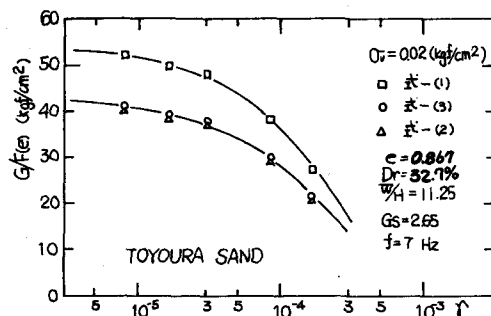


図-4 この算定方法の違いによるGの影響

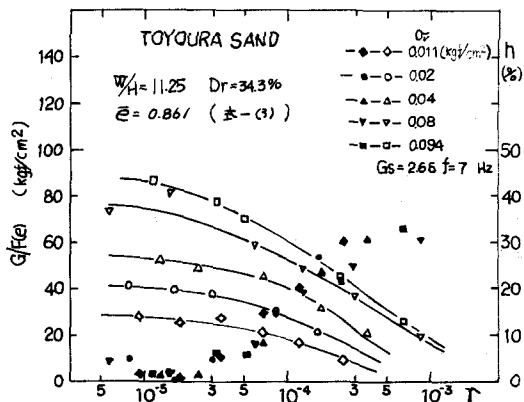


図-5 $G/F(\epsilon) \sim \gamma'$ と h/γ'

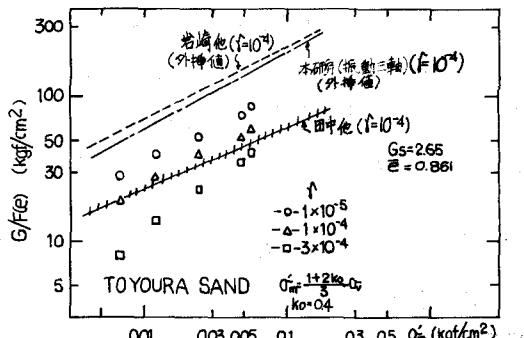


図-6 $G/F(\epsilon) \sim \gamma'$

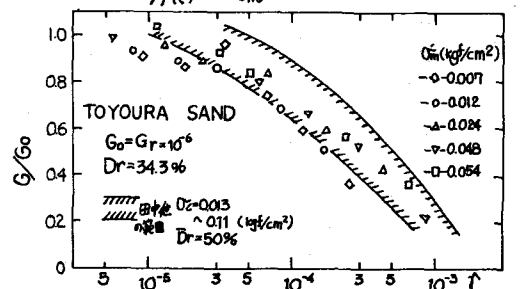


図-7 $G/G_0 \sim \gamma'$